

## تحلیل ارتعاشات غیرخطی پوسته‌های مخروطی با استفاده از رهیافت عددی

عماد حسرتی<sup>۱</sup>، رضا انصاری<sup>۲\*</sup>

۱- دانش آموخته کارشناسی ارشد، مهندسی مکانیک، دانشگاه گیلان، رشت

۲- دانشیار، مهندسی مکانیک، دانشگاه گیلان، رشت

\* رشت، صندوق پستی ۳۷۵۶ r\_ansari@guilan.ac.ir

### چکیده

پوسته‌های مخروطی به طور گسترده‌ای در شاخه‌های گوناگون مهندسی از جمله مهندسی مکانیک، عمران و هواپیما مورد استفاده قرار می‌گیرند. در این مقاله، ارتعاشات غیرخطی پوسته‌های مخروطی ناقص با استفاده از یک رهیافت عددی در شرایط مرزی مختلف مورد مطالعه قرار گرفته است. برای نیل به این هدف معادلات حاکم و شرایط مرزی مرتبط، بر اساس تئوری تغییر شکل برشی مرتبه اول دائل و با استفاده از اصل همیلتون استخراج شده‌اند. پس از بی‌بعدسازی معادلات حاکم، بهمنظور دست‌یابی به فرم گسسته‌ی معادلات از روش تربیع دیفرانسیلی تعمیم یافته استفاده شده است. سپس با اعمال روش گلرکین عددی معادلات حاکم به فرم معادلات دیفرانسیل معمولی در آمده است و روشی تحت عنوان گسسته‌سازی شبکه‌بندی متناسب برای بدست آوردن فرم گسسته‌ی معادلات در حوزه‌ی زمان به خدمت گرفته شده است. در نهایت پاسخ فرکانسی ارتعاشات غیرخطی پوسته‌ی مخروطی با استفاده از روش طول-کمان به دست آمده است. با ارائه نتایج عددی، اثرات عواملی نظری نسبت خامامت به شعاع، نسبت شعاع‌های کوچک و بزرگ، زاویه‌ی رأس مخروط و شرایط مرزی مختلف بر ارتعاشات غیرخطی پوسته‌های مخروطی مورد تحلیل و بررسی قرار گرفته است. مشاهده می‌شود که تغییر شکل مود ارتعاشی غالب و تعداد موج‌های محیطی پوسته تأثیر قابل توجهی بر اثرات سخت‌شوندگی و ارتعاشات غیرخطی دارد.

### اطلاعات مقاله

مقاله پژوهشی کامل

دریافت: ۱۷ مرداد ۱۳۹۵

پذیرش: ۰۷ آبان ۱۳۹۵

ارائه در سایت: ۲۶ دی ۱۳۹۵

کلید واژگان:

ارتعاشات غیرخطی

پوسته‌های مخروطی

روش تربیع دیفرانسیلی تعمیم، یافته

رهیافت عددی

ایزوتوپیک

## Nonlinear vibration analysis of conical shells using a numerical strategy

Emad Hasrati, Reza Ansari\*

Department of Solid Mechanics, Faculty of Engineering, University of Guilan, Rasht, Iran  
\* P.O.B. 3756 Rasht, Iran, r\_ansari@guilan.ac.ir

### ARTICLE INFORMATION

Original Research Paper  
Received 07 August 2016  
Accepted 28 October 2016  
Available Online 15 January 2017

#### Keywords:

Nonlinear vibrations  
Conical shells  
Generalized differential quadrature method  
Numerical approach  
Isotropic

### ABSTRACT

Conical shells are widely used in various engineering branches such as mechanical engineering, civil and aerospace engineering. In the present paper, based on the first order shear deformation theory (FSDT) of shells, the nonlinear vibration behavior of truncated conical shells under different boundary conditions is investigated using a numerical approach. To this end, the governing equations of motion and corresponding boundary conditions are derived by the use of Hamilton's principle. After catching the dimensionless form of equations, the generalized differential quadrature (GDQ) method is deployed to obtain a discretized set of nonlinear governing equations. Thereafter a Galerkin-based scheme is applied to achieve a time-varying set of ordinary differential equations and a method called periodic grid discretization so as to discretize the equations on the time domain. The pseudo arc-length continuation method is finally used to obtain the frequency-amplitude response of conical shells. Selected numerical results are presented to examine the effects of different factors such as thickness-to-radius ratio, up and down edges radius ratio, semi-vertex angle of cone, circumferential wave number and boundary conditions. It can be concluded that the change of the vibrational mode shapes and circumferential wave number have significant effects on the nonlinear vibration characteristics and hardening effects.

تاریخچه مطالعه بر روی تئوری‌های پوسته به حدود نیم قرن پیش باز می‌گردد. تئوری‌های گوناگون همچون تئوری دائل، تیموسکنکو و رایسنر بر اساس فرضیات و تقریب‌های گوناگون ارائه شده‌اند که اغلب این کارها توسط لیسا [1] معروفی شده است. لازم به ذکر است که بیشتر مطالعات انجام شده بر اساس تئوری‌های مختلف موجود در دیبره، در زمینه‌ی ارتعاشات پوسته‌های استوانه‌ای می‌باشد. در مقایسه با پوسته‌های استوانه‌ای مطالعات صورت گرفته بر روی پوسته‌های مخروطی بسیار اندک می‌باشد.

### ۱- مقدمه

پوسته‌های مخروطی به طور گسترده‌ای در شاخه‌های گوناگون مهندسی همچون کشتی‌ها، زیردریایی‌ها، موشک‌ها، فضایپامها و سازه‌های عمرانی مورد استفاده قرار می‌گیرند. این کاربرد گسترده باعث ایجاد انگیزه برای توسعهٔ مدل‌های دقیق ریاضی بهمنظور پیش‌بینی رفتار ارتعاشی پوسته‌ها برای طراحی گردیده است. به طوری که شناخت رفتار ارتعاشی پوسته‌ها برای طراحی سازه‌هایی با ارتعاش کنترل شده و کاهش نویز اهمیت زیادی می‌یابد.

Please cite this article using:

E. Hasrati, R. Ansari, Nonlinear vibration analysis of conical shells using a numerical strategy, *Modares Mechanical Engineering*, Vol. 17, No. 1, pp. 210-220, 2017 (in Persian)

دیفرانسیلی تعمیم‌یافته و گلرکین عددی به منظور گسسته‌سازی معادلات استفاده شده است. معادلات غیرخطی گسسته به منظور به دست آوردن پاسخ فرکانسی در نهایت با استفاده از روش طول-کمان<sup>۱</sup> حل شده‌اند. لازم به ذکر است که در این مقاله برای نخستین بار از یک روش عددی و بدون ساده سازی‌های موجود در روش‌های تحلیلی از قبیل نادیده گرفتن اینرسی و جابجایی‌های درون‌صفحه‌ای برای حل معادلات ارتعاشی پوسته‌های مخروطی استفاده شده است. همچنین نشان داده است که تغییر شکل مود ارتعاشی غالب پوسته، تاثیر قابل ملاحظه‌ای بر رفتار ارتعاشی آن می‌گذارد. به طوری که اثرات سخت‌شوندگی با تغییر شکل مود غالب تغییر الگو داده و دستخوش تغییر ناگهانی می‌شوند.

## ۲- فرمول بندی ریاضی معادلات حاکم و شرایط مرزی مرتبط

یک پوسته‌ی مخروطی ناقص مطابق شکل ۱ در نظر گرفته می‌شود. در این شکل  $\alpha$  نصف زاویه‌ی رأس،  $R_1$  شاعع کوچک،  $R_2$  شاعع بزرگ،  $h$  طول مخروط در راستای یال (مولد) آن است.  $(\leq \theta \leq L, 0 \leq x \leq L, -h/2 \leq z \leq h/2)$

بر اساس تئوری تغییر شکل برشی مرتبه اول دائل، خطوط عمود بر سطح مبنا پس از تغییر شکل، عمود بر سطح مبنا باقی نمی‌مانند. همچنین بر اساس این تئوری، جابجایی‌های درون‌صفحه‌ای ( $u_\theta$  و  $u_z$ ) توابعی خطی از ضخامت پوسته بوده و جابجایی عرضی ( $u_x$ ) نیز در راستای ضخامت پوسته ثابت در نظر گرفته می‌شود.

میدان جابجایی برای یک نقطه‌ی دلخواه بر روی پوسته‌ی مخروطی در راستای محورهای  $x$  و  $z$  با روابط (۱) محاسبه می‌شود:

$$\begin{aligned} u_x(x, \theta, z, t) &= u(x, \theta, t) + z\psi(x, \theta, t) \\ u_\theta(x, \theta, z, t) &= v(x, \theta, t) + z\phi(x, \theta, t) \\ u_z(x, \theta, z, t) &= w(x, \theta, t) \end{aligned} \quad (1)$$

که در آن  $t$  بیان‌گر زمان،  $u$ ،  $v$  و  $w$  به ترتیب معرف جابجایی سطح میانی در راستاهای محوری ( $x$ )، مماسی ( $\theta$ ) و شعاعی ( $z$ ) می‌باشند.  $\psi$  و  $\phi$  نیز معرف دوران بردارهای نرمال صفحه‌ی میانی حول محورهای  $\theta$  و  $x$  هستند.

بر اساس فرض فون کارمن و در نظر گرفتن میدان جابجایی در رابطه‌ی (۲)، مؤلفه‌های غیرصفر تنسور کرنش را می‌توان با رابطه‌ی (۲) بیان نمود.

$$\begin{aligned} \varepsilon_{xx} &= \varepsilon_{xx}^0 + zk_{xx}, \quad \varepsilon_{\theta\theta} = \varepsilon_{\theta\theta}^0 + zk_{\theta\theta}, \\ \varepsilon_{x\theta} &= \frac{(\gamma_{x\theta} + zk_{x\theta})}{2}, \quad \varepsilon_{xz} = \frac{\gamma_{xz}}{2}, \quad \varepsilon_{\theta z} = \frac{\gamma_{\theta z}}{2} \end{aligned} \quad (2)$$

در رابطه (۲) می‌توان روابط (۳) را نوشت:

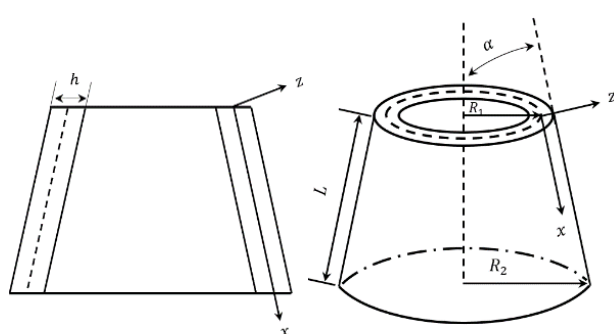


Fig. 1 Schematic of a truncated conical shell

شکل ۱ شماتیک پوسته‌ی مخروطی ناقص

<sup>۱</sup> Pseudo arc-length

از جمله مطالعات صورت گرفته در زمینه‌ی ارتعاشات خطی پوسته‌های مخروطی می‌توان به مواردی که در ادامه بیان می‌شوند اشاره کرد.

شو [۲] از روش تربیع دیفرانسیلی تعمیم‌یافته<sup>۲</sup> به منظور بررسی ارتعاشات آزاد پوسته‌های مخروطی استفاده کرد. سیوالک [۳] روش کاتولوشن منفرد گسسته<sup>۳</sup> را برای مطالعه‌ی ارتعاشات پوسته‌های مخروطی چرخان معرفی نمود. گولدبرگ و همکارانش [۴] مودهای مقارن محوری و فرکانس‌های طبیعی پوسته‌های مخروطی ناقص را مورد مطالعه قرار دادند. کالنیز [۵] ارتعاشات آزاد و مودهای ارتعاشی پوسته‌های مخروطی چرخان مقارن را بررسی نمود. آبری و همکارانش [۶, ۷] روش ماتریس انتقال را برای مطالعه‌ی ارتعاشات آزاد پوسته‌های مخروطی با ضخامت متغیر ارائه نمودند. روش حل سری‌های توانی به منظور مطالعه‌ی ارتعاشات آزاد پوسته‌های مخروطی ایزوتروپیک و ارتوتروپیک توسط تانگ [۹, ۸] مورد استفاده قرار گرفت. بر اساس تئوری مرتبه اول  $\omega$ ،  $L$  و  $h$  [۱۱, ۱۰] و همچنین هوتا [۱۲] یک روش تحلیلی را برای مطالعه‌ی ارتعاشات آزاد پوسته‌های مخروطی ارتوتروپیک با شرایط مرزی کلاسیک ارائه کردند. ویلکنتر و همکارانش [۱۳] ارتعاشات آزاد پوسته‌های مخروطی ارتوتروپیک را تحت شرایط مرزی مختلف مورد تجزیه و تحلیل قرار دادند. تحلیل ارتعاشات و کمانش پوسته‌های مخروطی ارتوتروپیک غیرهمگن با تکیه‌گاه‌های گیردار توسط سوفیف و همکارانش [۱۴] صورت گرفت. جین و همکارانش [۱۵] ارتعاشات آزاد پوسته‌های مخروطی ناقص را با استفاده از روش حل سری فوریه مطالعه نمودند. سوفیف [۱۶] ارتعاشات خطی و پایداری پوسته‌های مخروطی ناقص را تحت بار محوری مورد بررسی قرار داد. کمریان و همکارانش [۱۷] ارتعاشات آزاد خطی پوسته‌های مخروطی تقویت شده توسط نانوله‌های کربنی متراکم را با استفاده از روش تربیع دیفرانسیلی تعمیم‌یافته بررسی کردند. دونگ و تیم [۱۸] ارتعاشات آزاد و فرکانس‌های خطی پوسته‌های مخروطی ناقص هدفمند دارای حلقه‌های سفت‌کننده را با استفاده از روش گلرکین مطالعه نمودند.

بررسی دیگر نشان می‌دهد که تاکنون مطالعات اندکی برای بررسی ارتعاشات غیرخطی پوسته‌های مخروطی به انجام رسیده است که این مساله از پیچیدگی معادلات پوسته‌های مخروطی در مختصات منحنی‌های متعدد<sup>۴</sup> ناشی می‌شود. از جمله این تحقیقات که تماماً به روش‌های تحلیلی و با استفاده از ساده‌سازی معادلات انجام شده است می‌توان به مواردی که در ادامه ذکر می‌شوند اشاره نمود.

ژو و همکارانش [۱۹] ارتعاشات غیرخطی پوسته‌های مخروطی متورق را با به کارگیری روش‌های گلرکین و هارمونیک بالانس مورد مطالعه قرار دادند. ارتعاشات غیرخطی پوسته‌های مخروطی ناقص توسط فو و همکارانش [۲۰] مورد مطالعه قرار گرفت. شن و همکارانش [۲۱] ارتعاشات غیرخطی و پایداری پوسته‌های مخروطی ناقص چرخان را با استفاده از روش هارمونیک بالانس بررسی نمودند. سوفیف [۲۲] ارتعاشات غیرخطی پوسته‌های مخروطی ناقص هدفمند را با استفاده از روش‌های برهم‌نهای<sup>۵</sup>، گلرکین و هارمونیک بالانس مطالعه کرد.

در مقاله‌ی حاضر پس از به دست آوردن معادلات غیرخطی پوسته‌ی مخروطی ناقص بر اساس تئوری تغییر شکل برشی مرتبه اول دائل با استفاده از اصل کار مجازی (همیلتون<sup>۶</sup>) و بی بعد نمودن معادلات، از روش تربیع

<sup>۱</sup> Generalized differential quadrature (GDQ)

<sup>۲</sup> Discrete Singular Convolution

<sup>۳</sup> Orthogonal curvilinear coordinates

<sup>۴</sup> Superposition

<sup>۵</sup> Hamilton principle

نیروها و گشتاورهای منتجه‌ی ظاهر شده در رابطه‌ی (9) را می‌توان توسط رابطه‌ی (12) تعریف کرد.

$$\begin{aligned} N_{xx} &= A_{11}\varepsilon_{xx}^0 + B_{11}k_{xx} + A_{12}\varepsilon_{\theta\theta}^0 + B_{12}k_{\theta\theta}, \\ N_{\theta\theta} &= A_{11}\varepsilon_{\theta\theta}^0 + B_{11}k_{\theta\theta} + A_{12}\varepsilon_{xx}^0 + B_{12}k_{xx}, \\ M_{xx} &= B_{11}\varepsilon_{xx}^0 + D_{11}k_{xx} + B_{12}\varepsilon_{\theta\theta}^0 + D_{12}k_{\theta\theta}, \\ M_{\theta\theta} &= B_{11}\varepsilon_{\theta\theta}^0 + D_{11}k_{\theta\theta} + B_{12}\varepsilon_{xx}^0 + D_{12}k_{xx}, \\ N_{x\theta} &= A_{55}\gamma_{x\theta} + B_{55}k_{x\theta}, \quad M_{x\theta} = B_{55}\gamma_{x\theta} + D_{55}k_{x\theta}, \\ Q_x &= k_s A_{55}\gamma_{xz}, \quad Q_\theta = k_s A_{55}\gamma_{\theta z} \end{aligned} \quad (12)$$

انرژی جنبشی پوسته بر اساس تئوری مرتبه اول برشی را نیز می‌توان به صورت رابطه‌ی (13) بیان نمود.

$$\begin{aligned} \Pi_T &= \frac{1}{2} \int_A \int_{-h/2}^{h/2} \rho \left\{ (u_{,t} + z\psi_{,t})^2 + (v_{,t} + z\phi_{,t})^2 + w_{,t}^2 \right\} zdA \\ &= \frac{1}{2} \int_A \left\{ I_0 u_{,t}^2 + 2I_1 u_{,t} \psi_{,t} + I_2 \psi_{,t}^2 + I_0 v_{,t}^2 + 2I_1 v_{,t} \phi_{,t} \right. \\ &\quad \left. + I_2 \phi_{,t}^2 + I_0 w_{,t}^2 \right\} dA \end{aligned} \quad (13)$$

که:

$$\{I_0, I_1, I_2\} = \int_{-h/2}^{h/2} \rho \{1, z, z^2\} dz \quad (14)$$

همچنین کار خارجی ناشی از بارهای  $f_x$ ,  $f_\theta$  و  $f_z$  برابر است با:

$$\Pi_P = \int_A \{f_x u + f_\theta v + f_z w\} dA \quad (15)$$

با قرار دادن روابط (9), (13) و (15) در رابطه‌ی (8)، معادلات غیرخطی حاکم به صورت روابط (16-الف)-(16-ث) به دست می‌آیند.

$$N_{xx,x} + \frac{N_{x\theta,\theta}}{s} + f_x = I_0 u_{,tt} + I_1 \psi_{,tt} \quad (16-\text{الف})$$

$$N_{x\theta,x} + \frac{N_{\theta\theta,\theta}}{s} + \frac{Q_\theta}{s} + f_\theta = I_0 v_{,tt} + I_1 \phi_{,tt} \quad (16-\text{ب})$$

$$\begin{aligned} Q_{x,x} + \frac{Q_{\theta,\theta}}{s} - \frac{N_{\theta\theta}}{s} + (N_{xx}w_{,x})_{,x} + \left( \frac{N_{x\theta}w_{,\theta}}{s} \right)_{,x} \\ + \left( \frac{N_{x\theta}w_{,x}}{s} \right)_{,\theta} + \left( \frac{N_{\theta\theta}w_{,\theta}}{s^2} \right)_{,\theta} + f_z = I_0 w_{,tt} \end{aligned} \quad (16-\text{پ})$$

$$M_{xx,x} + \frac{M_{x\theta,\theta}}{s} - Q_x = I_2 \psi_{,tt} + I_1 u_{,tt} \quad (16-\text{ت})$$

$$M_{x\theta,x} + \frac{M_{\theta\theta,\theta}}{s} - Q_\theta = I_2 \phi_{,tt} + I_1 v_{,tt} \quad (16-\text{ث})$$

همچنین شرایط مرزی به صورت روابط (16-الف)-(16-ث) حاصل می‌شوند.

$$\delta u = 0, \quad N_{xx}n_x + N_{x\theta}n_\theta = 0 \quad (17-\text{الف})$$

$$\delta v = 0, \quad N_{x\theta}n_x + N_{\theta\theta}n_\theta = 0 \quad (17-\text{ب})$$

$$\begin{aligned} \delta w = 0, \quad \left( Q_x + N_{xx}w_{,x} + \frac{N_{x\theta}w_{,\theta}}{R} \right) n_x \\ + \left( Q_\theta + \frac{N_{\theta\theta}w_{,\theta}}{R} + N_{x\theta}w_{,x} \right) n_\theta = 0 \end{aligned} \quad (17-\text{پ})$$

$$\delta \psi = 0, \quad M_{xx}n_x + M_{x\theta}n_\theta = 0 \quad (17-\text{ت})$$

$$\delta \phi = 0, \quad M_{x\theta}n_x + M_{\theta\theta}n_\theta = 0 \quad (17-\text{ث})$$

برای به دست آوردن معادلات حاکم بر حسب مؤلفه‌های جابجایی، کافی است نیروها و گشتاورهای به دست آمده را در روابط (17) جای‌گذاری نمود. با توجه به این که پوسته ایزوتropیک در نظر گرفته شده است، ضرایب  $B_{11}$ ,  $B_{12}$  و  $B_{55}$  برابر صفر خواهند بود، همچنین نیروهای خارجی  $f_x$ ,  $f_\theta$  و  $f_z$  در ارتعاشات غیرخطی آزاد برابر صفر فرض می‌شوند. بنابراین معادلات حاکم را بر حسب مؤلفه‌های جابجایی می‌توان به صورت روابط (18) نوشت.

$$K_{11}u + K_{12}v + K_{13}w + K_{14}\psi + K_{15}\phi + Z_1 = I_0 u_{,tt} \quad (18-\text{الف})$$

$$K_{21}u + K_{22}v + K_{23}w + K_{24}\psi + K_{25}\phi + Z_2 = I_0 v_{,tt} \quad (18-\text{ب})$$

$$K_{31}u + K_{32}v + K_{33}w + K_{34}\psi + K_{35}\phi + Z_3 = I_0 w_{,tt} \quad (18-\text{پ})$$

$$\begin{aligned} \varepsilon_{xx}^0 &= u_{,x} + \frac{w_x^2}{2}, \\ \varepsilon_{\theta\theta}^0 &= \frac{(v_{,\theta} + w \cos \alpha + u \sin \alpha)}{s} + \frac{w_\theta^2}{2s^2}, \\ \gamma_{x\theta} &= \frac{(u_{,\theta} - v \sin \alpha)}{s} + v_{,x} + \frac{w_{,x}w_{,\theta}}{s}, \\ \gamma_{xz} &= \psi + w_{,x}, \quad \gamma_{\theta z} = \phi + \frac{w_{,\theta}}{s}, \\ k_{xx} &= \psi_{,x}, \quad k_{\theta\theta} = \frac{(\phi_{,\theta} + \psi \sin \alpha)}{s}, \\ k_{x\theta} &= \frac{(\psi_{,\theta} - \phi \sin \alpha)}{s} + \phi_{,x} \end{aligned} \quad (3)$$

که  $s$  شعاع مخروط در طول دلخواه  $x$  بوده و با رابطه‌ی (4) تعیین می‌شود.

$$s = R_1 + x \sin \alpha \quad (4)$$

مؤلفه‌های تنسور تنش کلاسیک ( $\sigma$ ) با استفاده از رابطه‌ی (5) به دست می‌آیند.

$$\sigma_{ij} = \sigma_{ji} = \lambda \varepsilon_{kk} \delta_{ij} + 2\mu \varepsilon_{ij} \quad (5)$$

با جای‌گذاری مؤلفه‌های کرنش از رابطه‌ی (3) در رابطه‌ی (5)، روابط (6) به دست می‌آیند:

$$\begin{aligned} \sigma_{xx} &= (\lambda + 2\mu)(\varepsilon_{xx}^0 + zk_{xx}) + \lambda(\varepsilon_{\theta\theta}^0 + zk_{\theta\theta}), \\ \sigma_{\theta\theta} &= (\lambda + 2\mu)(\varepsilon_{\theta\theta}^0 + zk_{\theta\theta}) + \lambda(\varepsilon_{xx}^0 + zk_{xx}), \\ \sigma_{x\theta} &= \sigma_{\theta x} = \mu(\gamma_{x\theta} + zk_{x\theta}), \\ \sigma_{xz} &= k_s \mu \gamma_{xz}, \quad \sigma_{yz} = k_s \mu \gamma_{yz} \end{aligned} \quad (6)$$

که  $k_s$  در رابطه‌ی (6) بیانگر ضریب تصحیح برشی است و برابر  $5/6$  در نظر گرفته شده است. همچنین  $\lambda$  و  $\mu$  ثابت‌های کلاسیک لامه هستند که با استفاده از مدول الاستیسیته ( $E$ ) و ضریب پوآسون ( $\nu$ ) با رابطه‌ی (7) تعیین می‌شوند.

$$\lambda = \frac{E\nu}{(1 - \nu^2)}, \quad \mu = \frac{E}{1 + \nu} \quad (7)$$

معادلات حاکم و شرایط مرزی متناظر با آن‌ها را می‌توان با استفاده از اصل کار مجازی به دست آورد. بر اساس اصل کار مجازی می‌توان نوشت:

$$\int_{t_1}^{t_2} (\delta \Pi_T - \delta \Pi_s + \delta \Pi_p) dt = 0 \quad (8)$$

که  $\delta \Pi_s$ ,  $\delta \Pi_p$  و  $\delta \Pi_T$  به ترتیب بیانگر تغییرات مجازی انرژی جنبشی، انرژی کرنشی و کار انجام شده توسط نیروهای خارجی هستند.

انرژی کرنشی پوسته از رابطه‌ی (9) به دست می‌آید.

$$\begin{aligned} \delta \Pi_s &= \int_A \{N_{xx} \delta \varepsilon_{xx}^0 + M_{xx} \delta k_{xx} + N_{\theta\theta} \delta \varepsilon_{\theta\theta}^0 + M_{\theta\theta} \delta k_{\theta\theta} \\ &\quad + N_{x\theta} \delta \gamma_{x\theta} + M_{x\theta} \delta k_{x\theta} + Q_x \delta \gamma_{xz} \\ &\quad + Q_\theta \delta \gamma_{\theta z}\} dA \end{aligned} \quad (9)$$

که نیروهای منتجه  $N_{ij}$  و گشتاورهای خمشی  $M_{ij}$  اعمال شده بر یک مقطع پوسته را می‌توان به صورت رابطه‌ی (10) به دست آورد.

$$N_{ij} = \int_{-h/2}^{h/2} \sigma_{ij} dz, \quad M_{ij} = \int_{-h/2}^{h/2} \sigma_{ij} z dz \quad (10)$$

با جای‌گذاری روابط (6) در رابطه‌ی (10) و در نظر گرفتن بار امترهای معرفی شده در رابطه‌ی (11) نوشت.

$$\begin{aligned} \{A_{11}, B_{11}, D_{11}\} &= \int_{-h/2}^{h/2} (\lambda + 2\mu)\{1, z, z^2\} dz, \\ \{A_{12}, B_{12}, D_{12}\} &= \int_{-h/2}^{h/2} \lambda\{1, z, z^2\} dz, \\ \{A_{55}, B_{55}, D_{55}\} &= \int_{-h/2}^{h/2} \mu\{1, z, z^2\} dz \end{aligned} \quad (11)$$

$$\bar{K}_{11}\bar{u} + \bar{K}_{12}\bar{v} + \bar{K}_{13}\bar{w} + \bar{K}_{14}\bar{\psi} + \bar{K}_{15}\bar{\phi} + \bar{Z}_1 = \bar{I}_0\bar{u}_{,tt} \quad (الف)$$

$$\bar{K}_{21}\bar{u} + \bar{K}_{22}\bar{v} + \bar{K}_{23}\bar{w} + \bar{K}_{24}\bar{\psi} + \bar{K}_{25}\bar{\phi} + \bar{Z}_2 = \bar{I}_0\bar{v}_{,tt} \quad (ب)$$

$$\bar{K}_{31}\bar{u} + \bar{K}_{32}\bar{v} + \bar{K}_{33}\bar{w} + \bar{K}_{34}\bar{\psi} + \bar{K}_{35}\bar{\phi} + \bar{Z}_3 = \bar{I}_0\bar{w}_{,tt} \quad (پ)$$

$$\bar{K}_{41}\bar{u} + \bar{K}_{42}\bar{v} + \bar{K}_{43}\bar{w} + \bar{K}_{44}\bar{\psi} + \bar{K}_{45}\bar{\phi} = \bar{I}_2\bar{\psi}_{,tt} \quad (ت)$$

$$\bar{K}_{51}\bar{u} + \bar{K}_{52}\bar{v} + \bar{K}_{53}\bar{w} + \bar{K}_{54}\bar{\psi} + \bar{K}_{55}\bar{\phi} = \bar{I}_2\bar{\phi}_{,tt} \quad (ث)$$

که مقادیر  $\bar{I}_{ij}$  و  $\bar{Z}_i$  در پیوست ب تعریف شده است.

### 3- روند حل عددی معادلات

برای حل عددی معادلات ارتعاشی، از روش تربیع دیفرانسیلی تعمیم یافته، [23] برای گستینه‌سازی معادلات استفاده شده است. به منظور شبکه‌بندی نقاط در راستای  $\zeta$  از رایطه‌ی چبیشو-گاوس-لویاتو<sup>1</sup> استفاده شده است.

$$\zeta = \frac{1}{2} \left( 1 - \cos \frac{i-1}{n_g-1} \pi \right), \quad i = 1, 2, \dots, n_g \quad (26)$$

در راستای  $\theta$  نیز رابطه‌ی (27) مورد استفاده قرار گرفته است.

$$\theta_j = \frac{2\pi j}{m_g}, \quad j = 1, 2, \dots, m_g \quad (27)$$

اگر فرض شود  $f(\zeta, \theta)$  یکتابع دو متغیره‌ی تعریف شده بر روی نقاط  $[\zeta_1, \dots, \zeta_{n_g}]$  باشد. همچنین  $D_\theta^{(1)}$  و  $D_\theta^{(1)}$  به ترتیب معرف ماتریس‌های ضرایب وزنی در راستای  $\zeta$  و  $\theta$  هستند که اجزای آن‌ها در پیوست ت آورده شده است. در این صورت مشتق مرتبه دوم  $f$  نسبت به  $\zeta$  و  $\theta$  را می‌توان با رابطه‌ی (28) تقریب زد.

$$f_{,\zeta\theta} = (D_\theta^{(1)} \otimes D_\zeta^{(1)}) f^v, \quad (28)$$

که علامت  $\otimes$  معرف ضرب تنسوری کرونکر<sup>2</sup> و  $f^v$  بیان‌گر فرم برداری تابع دومتغیره‌ی  $f$  می‌باشد.

$$f^v = [f(\zeta_1, \theta_1), \dots, f(\zeta_{n_g}, \theta_1), \dots, f(\zeta_1, \theta_{m_g}), \dots, f(\zeta_{n_g}, \theta_{m_g})] \quad (29)$$

به طریق مشابه فرم برداری تابع جاچابی دوبعدی برابر است با:

$$u(\zeta, \theta) = U^v, \quad v(\zeta, \theta) = V^v, \quad w(\zeta, \theta) = W^v, \quad \psi(\zeta, \theta) = \Psi^v, \quad \phi(\zeta, \theta) = \Phi^v \quad (30)$$

بنابراین با به کارگیری روابط (30-28)، فرم گستینه‌ی معادلات حاکم را می‌توان به صورت رابطه‌ی (31) نوشت.

$$M\ddot{X} + KX + K_{nl}(X) = 0 \quad (31)$$

معرف مشتق دوم  $\ddot{X}$  نسبت به زمان و

$M = \{U^T, V^T, W^T, \Psi^T, \Phi^T\}^T$  بردار متغیرهای میدان است.  $K$  و  $K_{nl}(X)$  بیان‌گر بخش‌های غیرخطی

ماتریس‌های سفتی و جرم بوده و  $K_{nl}(X)$  می‌توان به صورت رابطه‌ی (31) نوشت.

مرزی نیز به طور مشابه به فرم گستینه در می‌آید.

برای تبدیل معادلات حرکت به دستگاه معادلات دیفرانسیل عادی از روشی موسوم به گلرکین عددی استفاده می‌گردد. به این منظور پاسخ‌های به دست آمده از از بخش خطی معادلات به عنوان تابع پایه مورد استفاده قرار می‌گیرند. بنابراین با فرض پاسخ هارمونیک  $X = \tilde{X} e^{j\omega t}$  و صرفنظر کردن از بخش‌های غیرخطی معادلات رابطه‌ی (32) حاصل می‌شود.

$$K\tilde{X} = \omega^2 M\tilde{X}, \quad \tilde{X} = \{\tilde{U}^T, \tilde{V}^T, \tilde{W}^T, \tilde{\Psi}^T, \tilde{\Phi}^T\}^T \quad (32)$$

که  $\omega$  بیان‌گر فرکانس طبیعی غیرخطی است. با حل معادله‌ی (32)

فرکانس‌های طبیعی خطی و بردار مودهای ارتعاشی سیستم به دست می‌آید.

به منظور اعمال روش گلرکین عددی پاسخ معادله‌ی (32) به صورت رابطه‌ی

(33) در نظر گرفته می‌شود.

$$K_{41}u + K_{42}v + K_{43}w + K_{44}\psi + K_{45}\phi = I_2\psi_{,tt} \quad (ت-18)$$

$$K_{51}u + K_{52}v + K_{53}w + K_{54}\psi + K_{55}\phi = I_2\phi_{,tt} \quad (ث-18)$$

که در روابط (18)، روابط (19) برقرارند:

$$K_{11} = A_{11}\partial_{xx} + A_{12}\left(\frac{\partial_x \sin \alpha}{s} - \frac{\sin^2 \alpha}{s^2}\right) + \frac{A_{55}\partial_{\theta\theta}}{s^2},$$

$$K_{12} = \frac{(A_{55} + A_{12})\partial_{x\theta}}{s} - \frac{(A_{12} \sin \alpha + A_{55})\partial_\theta \sin \alpha}{s^2},$$

$$K_{13} = A_{12}\left(\frac{\partial_x \cos \alpha}{s} - \frac{\cos \alpha \sin \alpha}{s^2}\right),$$

$$K_{21} = \frac{A_{55}\partial_{x\theta}}{s} + \frac{A_{12}\partial_{x\theta}}{s} + \frac{(A_{11} - A_{55})\partial_\theta \sin \alpha}{s^2},$$

$$K_{22} = -A_{55}\left(\frac{\partial_x \sin \alpha}{s} - \frac{\sin^2 \alpha}{s^2}\right) + A_{55}\partial_{xx} + \frac{A_{11}\partial_{\theta\theta}}{s^2},$$

$$K_{23} = \frac{A_{11}\partial_\theta \cos \alpha}{s^2} + \frac{k_s A_{55}\partial_\theta}{s^2},$$

$$K_{25} = \frac{k_s A_{55}}{s}, \quad K_{31} = -\frac{A_{12}\partial_x}{s} - \frac{A_{11}\sin \alpha}{s^2},$$

$$K_{32} = \frac{A_{11}\partial_\theta}{s^2}, \quad K_{34} = k_s A_{55}\partial_x, \quad K_{35} = \frac{k_s A_{55}\partial_\theta}{s},$$

$$K_{33} = k_s A_{55}\partial_{xx} + \frac{k_s A_{55}\partial_{\theta\theta}}{s^2} + \frac{A_{11}\cos \alpha}{s^2},$$

$$K_{14} = K_{15} = K_{24} = K_{41} = K_{42} = K_{51} = K_{52} = 0 \quad (19)$$

که  $\partial^2/\partial\theta^2$ ،  $\partial^2/\partial x^2$  و  $\partial_{x\theta}$  به ترتیب معرف  $\partial_{xx}$  و  $\partial_{\theta\theta}$  می‌باشند. همچنین بخش غیرخطی معادلات  $Z_1$  و  $Z_2$  در

پیوست الف آورده شده است.

شرایط مرزی در نظر گرفته شده برای حالت‌های گیردار-گیردار، ساده-

گیردار و ساده-ساده عبارت است از:

گیردار-گیردار:

$$u = v = w = \psi = \phi = 0; \quad x = 0, L \quad (20)$$

ساده-ساده:

$$N_{xx} = v = w = M_{xx} = \phi = 0; \quad x = 0, L \quad (21)$$

ساده-گیردار:

$$N_{xx} = v = w = M_{xx} = \phi = 0; \quad x = 0 \quad (22)$$

که:

$$N_{xx} = \left[ A_{11}u_x + \frac{A_{12}u \sin \alpha}{s} \right] + \left[ \frac{A_{12}v_{,\theta}}{s} \right] + \left[ \frac{A_{12}w \cos \alpha}{s} \right]$$

$$M_{xx} = \left[ D_{11}\psi_x + \frac{D_{12}\psi \sin \alpha}{s} \right] + \left[ \frac{D_{12}\phi_{,\theta}}{s} \right] \quad (23)$$

### 2- بی بعدسازی معادلات و شرایط مرزی

با در نظر گرفتن پارامترهای بی بعد به صورت رابطه‌ی (24):

$$\zeta = \frac{x}{L}, \quad (\bar{u}, \bar{v}, \bar{w}) = \frac{(u, v, w)}{h}, \quad \eta = \frac{L}{h}$$

$$(\bar{\psi}, \bar{\phi}) = (\psi, \phi), \quad \kappa = \frac{R_2}{L}, \quad \tau = \frac{t}{L} \sqrt{\frac{A_{11}}{I_0}}$$

$$(a_{11}, a_{12}, a_{55}) = \frac{(A_{11}, A_{12}, A_{55})}{A_{11}}, \quad \bar{s} = \kappa + \zeta \sin \alpha,$$

$$(d_{11}, d_{12}, d_{55}) = \frac{(D_{11}, D_{12}, D_{55})}{A_{11}h^2},$$

$$\bar{I}_0 = \frac{I_0}{I_0}, \quad \bar{I}_2 = \frac{I_0}{I_0 h^2} \quad (24)$$

فرم بی بعد معادلات حاکم را می‌توان به صورت روابط (25-الف) نوشت.

25-ث نوشت.

<sup>1</sup> Chebyshev-Gauss-Lobatto

<sup>2</sup> Kronecker tensor product

همچنین عملگر مشتق‌گیری نسبت به زمان که با  $D_{\tau^*}^{(1)}$  معرفی می‌شود به شکل رابطه‌ی (43) تعریف می‌شود [24].

$$\left\{ \begin{array}{l} a_{11} = 0 \\ a_{I,J} = (-1)^{I-1} \cot \frac{\pi(I-1)}{N_t}, \quad I, J = 2, 3, 4, \dots, N_t \\ a_{I+1,J+1} = a_{I,J} \\ b_{11} = -\frac{N_t^2}{12} - \frac{1}{6} \\ b_{I,J} = \frac{(-1)^{I-1}}{2 \sin^2 \frac{\pi(I-1)}{N_t}}, \quad I, J = 2, 3, 4, \dots, N_t \\ b_{1,J} = \frac{(-1)^{N_t-J+1}}{2 \sin^2 \frac{\pi(N_t-J+1)}{N_t}} \\ b_{I+1,J+1} = b_{I,J} \end{array} \right. \quad (43)$$

$D_{\tau^*}^{(1)} = 2\pi[a_{I,J}]$ ,  $D_{\tau^*}^{(2)} = (2\pi)^2[b_{I,J}]$  با استفاده از رابطه‌ی (42) و به کارگیری عملگرهای  $D_{\tau^*}^{(0)}$ , فرم گسته‌ی رابطه‌ی (40) به صورت رابطه‌ی (44) در می‌آید.

$$\left(\frac{\Omega^*}{2\pi}\right)^2 \tilde{M} Q D_{\tau^*}^{(2)\top} + \tilde{K} Q + \tilde{K}_{nl}(BQ) = 0 \quad (44)$$

با توجه به رابطه‌ی (45) که به منظور تشکیل فرم برداری یک رابطه به کار می‌رود [25]

$$[AXB] = (B^T \otimes A)[X] \quad (45)$$

رابطه‌ی (44) را می‌توان به شکل رابطه‌ی (46) بازنویسی نمود.

$$\left( \left( \frac{\Omega^*}{2\pi} \right)^2 (D_{\tau^*}^{(2)} \otimes \tilde{M}) + (I_{\tau^*} \otimes \tilde{K}) \right) [Q] + [\tilde{K}_{nl}(BQ)] = 0 \quad (46)$$

که  $I_{\tau^*}$  ماتریس یکهای با ابعاد  $N_t \times N_t$  است.

در نهایت به منظور حل معادله‌ی (46) و تعیین مجہولات  $Q$  که معرف بردار جابجایی است و نیز به دست آوردن پاسخ فرکانسی از روش طول-کمان شده است. در ادامه نحوه عملکرد روش طول-کمان [26] به طور مختصر توضیح داده شده است.

به منظور حل دستگاه معادلات غیرخطی  $G(u, \lambda)$  به ازای مقادیر مختلف پارامتر  $\lambda$  روش‌های مختلفی همچون روش نیوتون-رافسون و نیز روش تعیقی (کنترل) ساده وجود دارد. در اینجا  $u \in R^N$  یک اسکالار حقیقی و  $G: R^{N+1} \rightarrow R^N$  می‌باشد. یکی از ضعف‌های روش‌های ذکر شده برای حل دستگاه معادلات غیرخطی در نقاطی از  $(u, \lambda)$  است که زاکوبین  $G_u$  یا  $G_\lambda$  منفرد باشد. منفرد بودن  $G_u$  می‌تواند در جاهایی رخ دهد که اصطلاحاً منحنی در آن نقاط دارای تاخورده‌ی یا بازگشت ناگهانی از مسیر اولیه باشد. در روش طول کمان برای غلبه بر این مشکل پارامترهای مسأله مجدد تعریف می‌شوند. به این منظور پارامتر تقریبی طول کمان  $s$  معرفی می‌شود به طوری که  $u$  و  $\lambda$  وابسته به  $s$  می‌باشند. همچنین بردار جدیدی به صورت  $x = (u, \lambda)$  تعریف می‌شوند که وابسته به  $s$  است. با انجام این کار می‌توان دستگاه معادلات پارامتری جدیدی به صورت  $F(x, s) = 0$  با پارامتر  $s$  تشکیل داد. برای به دست آوردن پاسخ این دستگاه معادلات لازم است که زاکوبین  $F_x$  یا  $F_{\lambda x}$  غیرمنفرد باشد. ثابت می‌شود که  $F_x$  در نقاط تاخورده‌ی منحنی غیرمنفرد می‌باشد.

#### 4- نتایج عددی

$$X = Bq \quad (33)$$

که  $B$  ماتریس توابع پایه‌ی گلرکین شامل  $m$  بردار ویژه‌ی اول سیستم و  $q$  بیانگر بردار مختصات تعیین یافته است.

$$B_{(5N_g) \times (5m)} = \begin{bmatrix} B_U & 0 & 0 & 0 & 0 \\ 0 & B_V & 0 & 0 & 0 \\ 0 & 0 & B_W & 0 & 0 \\ 0 & 0 & 0 & B_\Psi & 0 \\ 0 & 0 & 0 & 0 & B_\Phi \end{bmatrix},$$

$$q^T_{(5m) \times 1} = [q_u^{(1)}, q_u^{(2)}, \dots, q_u^{(m)}, \dots, q_\phi^{(m)}, q_\phi^{(1)}, q_\phi^{(2)}, \dots, q_\phi^{(m)}]^T \quad (34)$$

$$B_{U \ N_g \times m} = [\tilde{U}_{N_g \times 1}^{(1)}, \dots, \tilde{U}_{N_g \times 1}^{(m)}],$$

$$B_{V \ N_g \times m} = [\tilde{V}_{N_g \times 1}^{(1)}, \dots, \tilde{V}_{N_g \times 1}^{(m)}],$$

$$B_{W \ N_g \times m} = [\tilde{W}_{N_g \times 1}^{(1)}, \dots, \tilde{W}_{N_g \times 1}^{(m)}],$$

$$B_{\Psi \ N_g \times m} = [\tilde{\Psi}_{N_g \times 1}^{(1)}, \dots, \tilde{\Psi}_{N_g \times 1}^{(m)}],$$

$$B_{\Phi \ N_g \times m} = [\tilde{\Phi}_{N_g \times 1}^{(1)}, \dots, \tilde{\Phi}_{N_g \times 1}^{(m)}] \quad (35)$$

که  $J_g = n_g \times m_g$  با جایگذاری رابطه‌ی (33) در (31).

$$MB\ddot{q} + KBq + K_{nl}(Bq) = 0 \quad (36)$$

برای آن که امکان ضرب رابطه‌ی (36) در توابع پایه فراهم شودنیاز به یک عملگر ماتریسی می‌باشد که توسط رابطه‌ی (37) تعریف می‌گردد.

$$G_{5m \times 5N_g} = B^T \begin{bmatrix} S_\theta \otimes S_\zeta & 0 & 0 & 0 & 0 \\ 0 & S_\theta \otimes S_\zeta & 0 & 0 & 0 \\ 0 & 0 & S_\theta \otimes S_\zeta & 0 & 0 \\ 0 & 0 & 0 & S_\theta \otimes S_\zeta & 0 \\ 0 & 0 & 0 & 0 & S_\theta \otimes S_\zeta \end{bmatrix} \quad (37)$$

که  $S_\zeta$  و  $S_\theta$  عملگرهای انتگرال‌گیری هستند که بر روی  $[\zeta_1, \dots, \zeta_{n_g}]$  و  $[\theta_1, \dots, \theta_{m_g}]$  ساخته شده و در پیوست ت تعریف شده‌اند. با ضرب عملگر  $G$  در رابطه‌ی (36) معادله دیفرانسیل معمولی وابسته به زمان ارائه شده توسط رابطه‌ی (38) حاصل می‌شود.

$$\tilde{M}\ddot{q} + \tilde{K}q + \tilde{K}_{nl}(Bq) = 0 \quad (38)$$

که در آن:

$$\tilde{M} = GMB, \quad \tilde{K} = GKB, \quad \tilde{K}_{nl}(Bq) = GK_{nl}(Bq) \quad (39)$$

با به کارگیری رابطه‌ی (38) تعداد درجهات آزادی سیستم از  $5N_g$  به  $5m$  کاهش می‌یابد که این امر به طور قابل ملاحظه‌ای باعث کاهش مقدار و زمان انجام محاسبات می‌گردد. به منظور حل معادله ارائه شده در رابطه‌ی (31)، با به کارگیری روشی موسوم به گسته‌سازی شبکه‌بندی متنابه، گسته‌سازی بر روی زمان نیز انجام می‌شود که به این منظور از یک عملگر مشتق‌گیری بسیار دقیق [24] استفاده می‌گردد. با تعریف  $\tau^* = T/T^*$  که در  $\Omega^* = 2\pi/\lambda$  و  $T^* = \tau^*$  می‌باشد، می‌توان به توسط رابطه‌ی (40) در می‌آید.

$$\left(\frac{\Omega^*}{2\pi}\right)^2 \tilde{M}\ddot{q} + \tilde{K}q + \tilde{K}_{nl}(Bq) = 0 \quad (40)$$

اگر  $N_t$  تعداد نقاط گرهی زمان باشد، شبکه‌بندی نقاط بر روی زمان را می‌توان به توسط رابطه‌ی (41) نشان داد.

$$\tau_j^* = \frac{J}{N_t}, \quad 0 < \tau_j^* \leq 1, \quad J = 1, 2, \dots, N_t = 2k \quad (41)$$

فرم گسته‌ی  $q$  بر روی زمان عبارت است از:

$$Q_{5m \times N_t} = [q_{U \ 1 \times N_t}^{(1)}, \dots, q_{U \ 1 \times N_t}^{(m)}, \dots, q_{\phi \ 1 \times N_t}^{(1)}, \dots, q_{\phi \ 1 \times N_t}^{(m)}]^T \quad (42)$$

جدول 2 مقایسه نسبت فرکانس غیرخطی به خطی ( $\omega_L/\omega_{NL}$ ) برای یک پوسته مخروطی ایزوتروپیک

( $\alpha = 0, L = 0.4 \text{ m}, R = 0.254 \text{ m}, h = 2.54 \text{ mm}, E = 200 \text{ GPa}, v = 0.3, \rho = 7800 \text{ kgm}^{-3}$ )

**Table 2** Comparison of nonlinear to linear frequency ratio ( $\omega_{NL}/\omega_L$ ) for an isotropic conical shell ( $\alpha = 0, L = 0.4 \text{ m}, R = 0.254 \text{ m}, h = 2.54 \text{ mm}, E = 200 \text{ GPa}, v = 0.3, \rho = 7800 \text{ kg/m}^3$ )

$(m, n) = (1, 3)$		$(m, n) = (1, 2)$		$\frac{W_{max}}{h}$		
مرجع [28]	مرجع [27]	مقاله حاضر	مرجع [28]	مرجع [27]	مقاله حاضر	
1.0060	1.0072	1.0063	1.0006	1.0008	1.0010	1.0
1.0235	1.0342	1.0250	1.0024	1.0029	1.0034	2.0
1.0516	1.0731	1.0552	1.0053	1.0063	1.0095	3.0

در شکل 2 پاسخ فرکانسی ارتعاشات غیرخطی به ازای نسبت‌های مختلف ضخامت به شعاع بزرگ مخروط ( $h/R_2$ ) در سه شرط مرزی گیردار-گیردار، ساده-گیردار و ساده-ساده بررسی شده است. نتایج نشان می‌دهد که با افزایش نسبت  $h/R_2$  شکل مود ارتعاشی خطی و تعداد موج‌های محیطی ممکن است تغییر کنند. به طوری که در شرط مرزی گیردار-گیردار با افزایش نسبت  $h/R_2$  از 0.005 به 0.008 تعداد موج‌های محیطی به ترتیب برابر 8 و 6 می‌باشد و در این محدوده اثرات سخت‌شوندگی<sup>۱</sup> کاهش می‌یابد. همچنین با افزایش  $h/R_2$  از 0.008 به 0.01 تعداد موج‌های محیطی برابر 6 بوده و ثابت باقی ماند و افزایش در اثرات سخت‌شوندگی مشاهده می‌شود. به طور کلی می‌توان نتیجه گرفت که چنانچه با افزایش نسبت  $h/R_2$  شکل مود ارتعاشی خطی پوسته تغییر کند، اثرات سخت‌شوندگی کاهش می‌یابد. اما چنانچه شکل مود ارتعاشی ثابت و بدون تغییر باقی ماند، افزایش نسبت  $h/R_2$  با افزایش اثرات سخت‌شوندگی همراه است.

در شکل 3 تأثیر نسبت شعاع‌های مختلف ( $R_1/R_2$ ) بر ارتعاشات غیرخطی پوسته مخروطی در شرایط مرزی مختلف بررسی شده است. لازم به ذکر است که  $R_1$  شعاع کوچک و  $R_2$  شعاع بزرگ مخروط ناقص می‌باشد. نتایج نشان می‌دهند که در تمامی شرایط مرزی به استثناء تکیه‌گاه ساده-ساده چنانچه با افزایش نسبت  $R_1/R_2$  شکل مود ارتعاشی خطی و تعداد موج‌های محیطی ثابت باقی ماند اثرات سخت‌شوندگی در پوسته کم می‌شود اما در صورتی که افزایش  $R_1/R_2$  با تغییر تعداد موج‌های محیطی همراه باشد اثرات سخت‌شوندگی افزایش می‌یابد. همچنین ملاحظه می‌شود که در تکیه‌گاه ساده-ساده مود ارتعاشی ثابت و به صورت متقابل محوری بوده و افزایش نسبت  $R_1/R_2$  افزایش اثرات سخت‌شوندگی را به دنبال دارد.

شکل 4 پاسخ فرکانسی ارتعاشات غیرخطی را برای مقادیر مختلف نیم زاویه‌ی رأس مخروط ( $\alpha$ ) و در شرایط مرزی متفاوت نشان می‌دهد. با افزایش زاویه‌ی  $\alpha$  از 30 درجه تا 70 درجه مشاهده می‌شود که اثرات سخت‌شوندگی در شرایط مرزی گیردار-گیردار و ساده-گیردار به طور متناسب ابتدا کاهش و سپس افزایش می‌یابد. در تکیه‌گاه ساده-ساده شکل مود ارتعاشی غالب، متقابل محوری بوده و با افزایش  $\alpha$ ، اثرات سخت‌شوندگی به طور پوسته زیاد می‌شود.

در شکل 5 تأثیر تغییر شرایط مرزی بر پاسخ فرکانسی ارتعاشات غیرخطی پوسته مخروطی بررسی شده است. می‌توان نتیجه گرفت که اثرات سخت‌شوندگی به ترتیب در تکیه‌گاه‌های گیردار-گیردار، ساده-گیردار و

در این بخش با ارائه نتایج عددی پاسخ فرکانسی پوسته مخروطی ناقص در شرایط مرزی گیردار-گیردار، ساده-گیردار و ساده-ساده مورد بررسی قرار گرفته است. خواص مکانیکی پوسته مورد بررسی عبارت است از  $E = 211 \times 10^9 \text{ Nm}^{-2}$ ,  $\rho = 7800 \text{ kgm}^{-3}$ ,  $v = 0.3$ ,  $L = 4 \text{ m}$ ,  $R_1 = R_2 = 0.254 \text{ m}$ ,  $h = 2.54 \text{ mm}$ ,  $\alpha = 45^\circ$ ,  $\sin \alpha = 0.707$ . به منظور بررسی صحت نتایج، پاسخ‌های ارائه شده در مقاله حاضر در جدول 1 با یکی از کارهای موجود در دیگر مقاله‌های مفایضه شده است و ملاحظه می‌شود که نتایج ارائه شده در تحقیق حاضر با دقت مناسبی با نتایج مرجع [21] مطابقت دارند.

از آنجایی مطالعات انجام شده بر روی ارتعاشات غیرخطی پوسته‌های مخروطی بسیار اندک است، لذا برای حصول اطمینان از روش و نتایج غیرخطی ارائه شده، نتایج مقاله‌ی حاضر با در نظر گرفتن نیم زاویه‌ی رأس مخروط ناقص برابر صفر درجه ( $\alpha = 0$ ) با نتایج ارائه شده توسط شن [27] و نیز راجو و رائو [28] برای یک پوسته‌ی استوانه‌ای مقایسه شده است. لازم به ذکر است در صورتی که نیم زاویه‌ی رأس مخروط برابر صفر در نظر گرفته شود، مخروط ناقص به استوانه تبدیل خواهد شد. به این منظور یک پوسته مخروطی با مشخصات  $R_1 = R_2 = 0.254 \text{ m}$ ,  $L = 4 \text{ m}$ ,  $\rho = 7800 \text{ kgm}^{-3}$ ,  $v = 0.3$ ,  $E = 200 \text{ GPa}$ ,  $h = 2.54 \text{ mm}$  نظر گرفته شده است.

نتایج برای تعداد موج‌های طولی  $m = 1$  و تعداد موج‌های محیطی در سه حالت  $n = 2, 3$  بدست آمده‌اند. نتایج ارائه شده در جدول 2 نشان می‌دهد که پاسخ‌های به دست آمده از تحقیق حاضر با دقت خوبی با مراجع ذکور مطابقت دارد.

#### 4-1- تحلیل پاسخ فرکانسی

در این بخش پاسخ فرکانسی ارتعاشات غیرخطی پوسته‌ای پوسته مخروطی ایزوتروپیک به ازای متغیرهای مختلف از قبیل نسبت شعاع‌های کوچک به شعاع بزرگ، نسبت ضخامت به شعاع، نیم زاویه‌ی رأس مخروط، برای سه شرط مرزی گیردار-گیردار، ساده-گیردار و ساده-ساده مورد بررسی قرار گرفته است.

جدول 1 مقایسه فرکانس‌های طبیعی بی‌بعد ( $\Omega_l = \omega_l R_2 \sqrt{\rho(1 - v^2)/E}$ ) به ازای مودهای ارتعاشی گوناگون و در شرایط مرزی مختلف:

( $E = 211 \text{ GPa}$ ,  $v = 0.3$ ,  $\rho = 7800 \text{ kgm}^{-3}$ ,  $R_2 = 1 \text{ m}$ ,  $h/R_2 = 0.01$ ,  $\alpha = 45^\circ$ ,  $L \sin \alpha / R_2 = 0.5$ )

**Table 1** Comparison of dimensionless fundamental natural frequencies ( $\Omega_l = \omega_l R_2 \sqrt{\rho(1 - v^2)/E}$ ) for vibration modes and boundary conditions ( $E = 211 \text{ GPa}$ ,  $v = 0.3$ ,  $\rho = 7800 \text{ kgm}^{-3}$ ,  $R_2 = 1 \text{ m}$ ,  $h/R_2 = 0.01$ ,  $\alpha = 45^\circ$ ,  $L \sin \alpha / R_2 = 0.5$ )

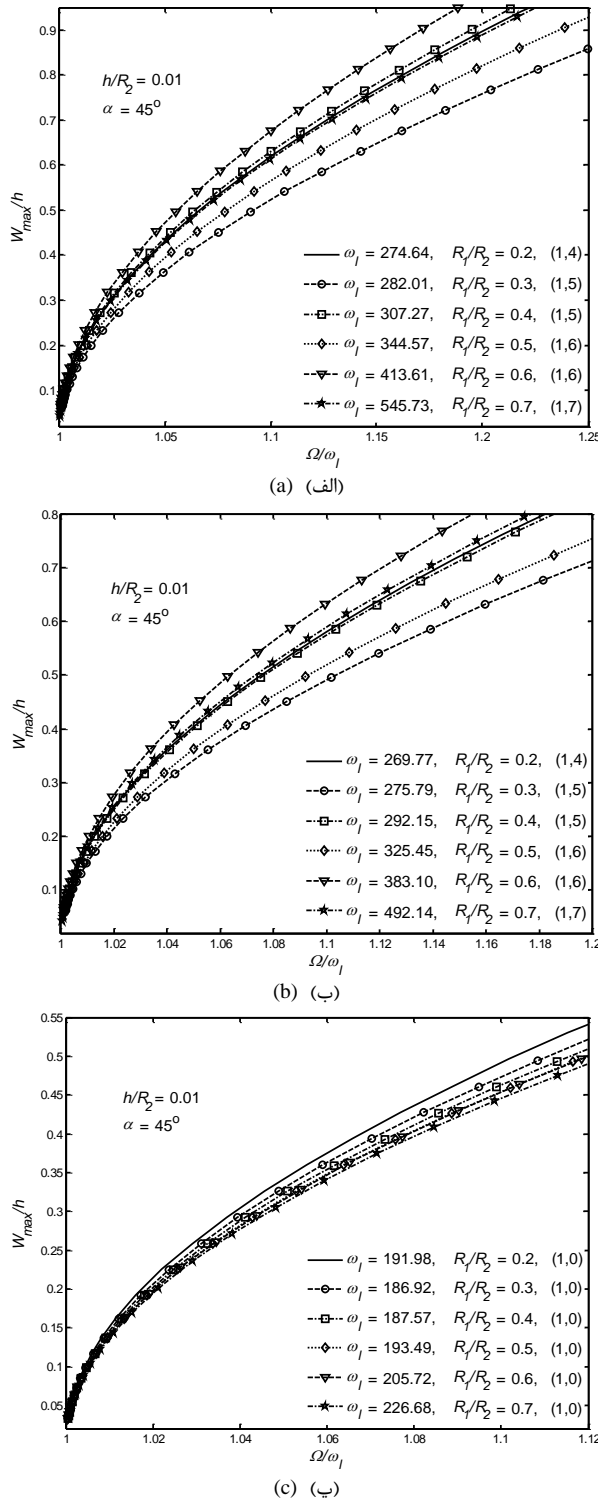
ساده-ساده	ساده-گیردار	گیردار-گیردار	مود			
مرجع [21]	مقاله حاضر	مرجع [21]	مقاله حاضر	مرجع [21]	مقاله حاضر	
0.2233	0.2230	0.3458	0.3751	0.3970	0.3971	1
0.3248	0.3255	0.3598	0.3837	0.4095	0.4095	2
0.3348	0.3353	0.3657	0.3999	0.4151	0.4151	3
0.3524	0.3529	0.4102	0.4326	0.4570	0.4569	4
0.3947	0.3951	0.4164	0.4488	0.4577	0.4575	5
0.4033	0.4036	0.4715	0.5137	0.5189	0.5179	6
0.4684	0.4683	0.5203	0.5249	0.5430	0.5429	7

<sup>1</sup> Hardening effects

ناقص را به ازای تعداد موج‌های محیطی ( $n$ ) مختلف نشان می‌دهد.

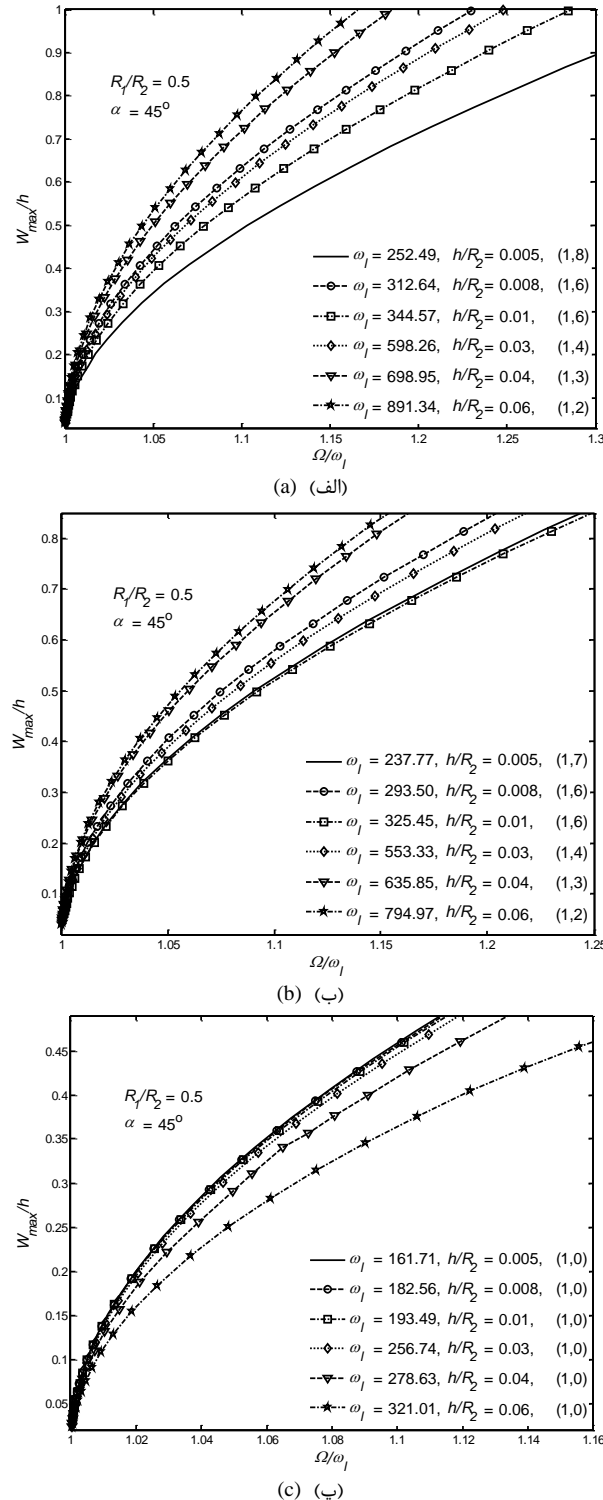
### 5- نتیجه‌گیری

در این مقاله ارتعاشات غیرخطی پوسته‌های مخروطی ناقص مورد بررسی قرار گرفته است. به منظور استخراج معادلات حاکم و شرایط مرزی، بر اساس



**شکل 3** پاسخ فرکانسی ارتعاشات غیرخطی برای نسبت‌های شعاع‌های متفاوت (DOR: 20.1001.1.10275940.1396.17.1.43.3)

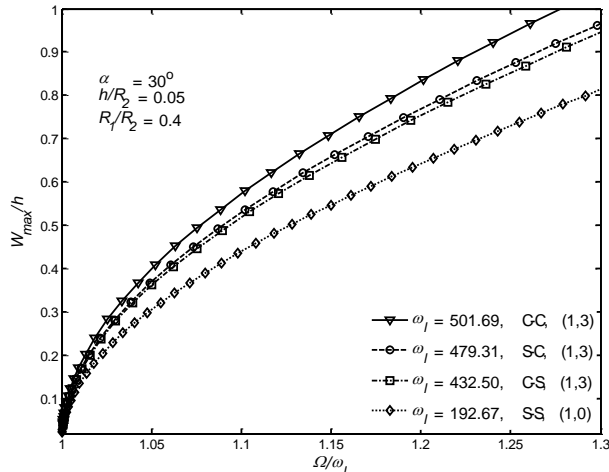
شکل 3 پاسخ فرکانسی ارتعاشات غیرخطی برای نسبت‌های شعاع‌های متفاوت (الف:  $R_1/R_2 = 0.2$ ، ب:  $R_1/R_2 = 0.3$ ، ج:  $R_1/R_2 = 0.4$ ، د:  $R_1/R_2 = 0.5$ ، ه:  $R_1/R_2 = 0.6$ ، ز:  $R_1/R_2 = 0.7$ )



**شکل 2** پاسخ فرکانسی ارتعاشات غیرخطی برای نسبت‌های مقاومت ضخامت به شعاع بزرگ مخروط ( $h/R_2$ ): (الف) گیردار-گیردار (ج) ساده-ساده (ب) ساده-ساده-ساده

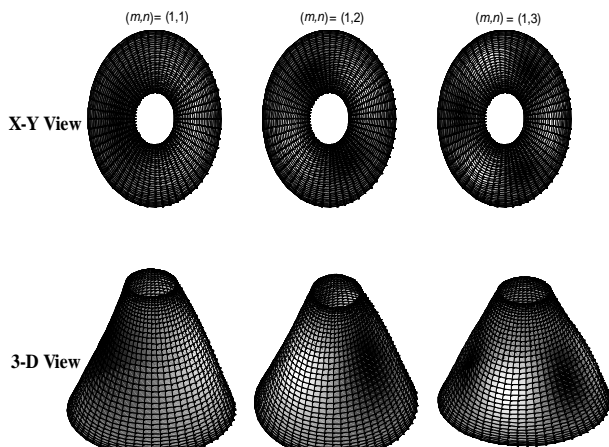
ساده-ساده روند افزایش را طی می‌کند، به‌گونه‌ای که بیشترین اثرات سخت‌شوندگی در تکیه‌گاه ساده-ساده و کمترین آن در تکیه‌گاه گیردار-گیردار دیده می‌شود.

شکل 6 نیز نمونه‌هایی از شکل مودهای ارتعاشی یک پوسته‌ی مخروطی



**Fig. 5** پاسخ فرکانسی ارتعاشات غیرخطی در شرایط مرزی مختلف

شکل 5 پاسخ فرکانسی ارتعاشات غیرخطی در شرایط مرزی مختلف

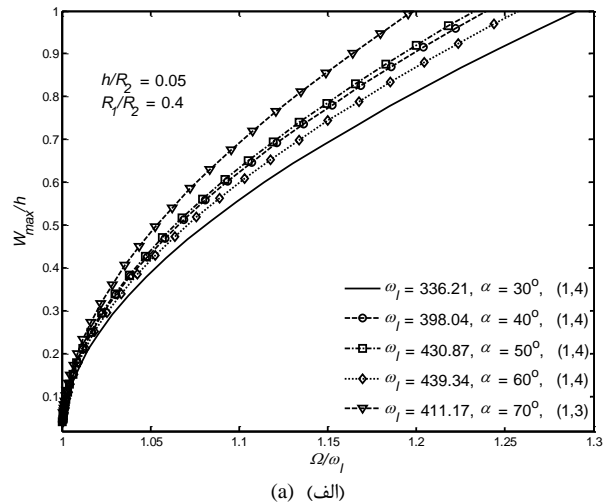


**Fig. 6** شکل مودهای ارتعاشی پوسته‌ی مخروطی بهارای تعداد موج‌های محیطی ( $n$ ) مختلف

شکل 6 شکل مودهای ارتعاشی پوسته‌ی مخروطی بهارای تعداد موج‌های محیطی ( $n$ ) مختلف

پذیرفت و در نهایت پاسخ فرکانسی ارتعاشات غیرخطی پوسته‌های مخروطی با استفاده از روش طول-کمان به دست آمد. با ارائه نتایج عددی اثرات عواملی همچون نسبت ضخامت به شعاع، نست شعاع‌های کوچک به بزرگ، زاویه‌ی رأس مخروط و شرایط مرزی مختلف بر ارتعاشات غیرخطی پوسته‌های مخروطی مورد بررسی قرار گرفت. مشاهده گردید که تغییر شکل مود ارتعاشی غالب پوسته، تأثیر قابل توجهی بر اثرات سخت‌شوندگی و ارتعاشات غیرخطی دارد. همچنین از مهم‌ترین نتایج بدست آمده می‌توان به موارد زیر اشاره نمود.

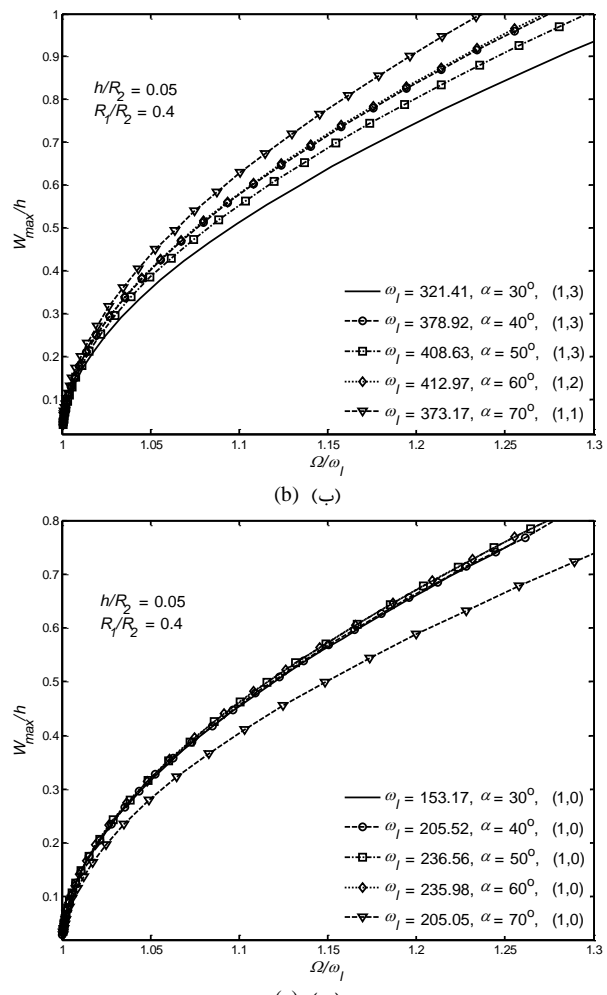
- با افزایش نسبت ضخامت به شعاع ( $h/R_2$ ), در صورتی که شکل مود ارتعاشی و تعداد موج‌های طولی و محیطی پوسته تغییر نکند، اثرات سخت‌شوندگی افزایش یافته و چنانچه شکل مود ارتعاشی و تعداد موج‌های محیطی دچار تغییر شود اثرات سخت‌شوندگی کاهش می‌یابد. علت تغییر ناگهانی الگوی اثرات سخت‌شوندگی را می‌توان در تغییر ناگهانی سفتی سازه جست و جو کرد. به این معنی که تغییر شکل مود ارتعاشی غالب بر الگوی تغییر سفتی سازه به طور مستقیم تأثیر می‌گذارد.



(الف)

(ب)

(پ)



**Fig. 4** پاسخ فرکانسی ارتعاشات غیرخطی برای نسبت‌های متفاوت ضخامت به شعاع بزرگ مخروط ( $h/R_2$ ): (الف) گیردار-گیردار (ج) ساده-گیردار (د) ساده-ساده

شکل 4 پاسخ فرکانسی ارتعاشات غیرخطی برای نسبت‌های متفاوت ضخامت به شعاع بزرگ مخروط ( $h/R_2$ ): (الف) گیردار-گیردار (ج) ساده-گیردار (د) ساده-ساده

تئوری تغییر شکل برشی مرتبه اول پوسته‌ی دالن، اصل جابجایی‌های مجازی مورد استفاده قرار گرفت. با به کار گیری روش‌های تربیع دیفرانسیلی تعمیم یافته و گلرکین عددی گسته‌سازی در حوزه‌ی مکان و با استفاده از روش گسته‌سازی شبکه‌بندی متناظر گسته‌سازی بر روی زمان صورت

تعداد کل نقاط گرهی روی مکان	$N_g$	با افزایش نسبت شعاع کوچک به شعاع بزرگ پوسته‌ی مخروطی
تعداد دنقاط گرهی روی زمان	$N_t$	( $R_1/R_2$ ), در تکیه‌گاه‌های گیردار-گیردار و ساده-گیردار چنانچه
نیروهای منتجه	$N_{ij}$	شکل مود ارتعاشی و تعداد موج‌های طولی و محیطی ثابت باقی
بردار مختصات تعیین‌یافته	$\mathbf{q}$	بماند، اثرات سخت‌شوندگی در پوسته کاهش می‌یابد اما چنانچه
بردار مجھولات شامل جابجایی‌ها	$\mathbf{Q}$	شکل مود ارتعاشی دست‌خوش تغییر شود، اثرات سخت‌شوندگی با
شعاع کوچک مخروط (m)	$R_1$	افزایش همراه خواهد بود. هم‌چنین در تکیه‌گاه ساده شکل
شعاع بزرگ مخروط (m)	$R_2$	مود ارتعاشی غالب متقاران محوی بوده و با افزایش نسبت
شعاع مخروط در سطح مقطع دلخواه (m)	$s$	اثرات سخت‌شوندگی در این شرط مرزی به طور پیوسته افزایش
شعاع بی‌بعد مخروط در سطح مقطع دلخواه	$\bar{s}$	می‌یابد. لذا می‌توان چنین نتیجه گرفت که با تغییر شکل مود
عمل گر انترگال گیر در راستای $\zeta$	$S_\zeta$	ارتعاشی غالب پوسته در شرایط مرزی گیردار-گیردار
عمل گر انترگال گیر در راستای $\theta$	$S_\theta$	-سفتی سازه ناگهان دست‌خوش تغییر می‌شود اما در تکیه‌گاه ساده-
زمان (s)	$t$	ساده که شکل مود ارتعاشی متقاران محوی و بدون تغییر باقی
دوره‌ی تناوب (s)	$T^*$	می‌ماند سفتی سازه از الگوی یکنواختی پیروی می‌کند.
دوره‌ی تناوب بی‌بعد	$\tau$	• با افزایش نیم زاویه‌ی رأس مخروط ( $\alpha$ ), از 30 درجه تا 70 درجه
جابجایی طولی صفحه‌ی میانی	$u$	مشاهده می‌شود که اثرات سخت‌شوندگی در شرایط مرزی گیردار-
جابجایی محیطی صفحه‌ی میانی	$v$	گیردار و ساده-گیردار به طور متناوب ابتدا کاهش و سپس افزایش
جابجایی شعاعی صفحه‌ی میانی	$w$	می‌یابد. در تکیه‌گاه ساده شکل مود ارتعاشی غالب، متقاران
فرم بی‌بعد متغیرهای $u, v, w$	$\bar{u}, \bar{v}, \bar{w}$	محوری بوده و با افزایش $\alpha$ , اثرات سخت‌شوندگی به طور پیوسته
محور مختصات طولی	$x$	زیاد می‌شود.
محور مختصات شعاعی	$z$	• با تغییر شرایط مرزی اثرات سخت‌شوندگی به ترتیب در
بخش‌های غیرخطی معادلات	$Z$	تکیه‌گاه‌های گیردار-گیردار، ساده-گیردار و ساده-ساده روند
بخش‌های غیرخطی بی‌بعد شده‌ی معادلات	$\bar{Z}$	افزایشی را طی می‌کند. این موضوع نشان می‌دهد که هر چه در
علایم یونانی		مرزها برای پوسته محدودیت بیشتری ایجاد شود اثرات
محور مختصات محیطی	$\theta$	سخت‌شوندگی با کاهش بیشتری همراه است.
دوران سطح میانی حول محور $\theta$	$\psi$	• در تکیه‌گاه ساده-ساده با تغییر پارامترهای هندسی شکل مود
دوران سطح میانی حول محور $x$	$\phi$	ارتعاشی غالب بدون تغییر و به صورت متقاران محوی بوده و با
کرنش	$\epsilon_{ij}$	افزایش تمامی پارامترهای هندسی در این شرط مرزی اثرات سخت
تنش	$\sigma_{ij}$	شوندگی با افزایش همراه است.
ضریب پوآسون	$\nu$	
چگالی (kgm <sup>-3</sup> )	$\rho$	6- فهرست علایم
انرژی جنبشی	$\Pi_T$	ماتریس توابع پایه B
انرژی کرنشی	$\Pi_S$	عمل گر مشتق گیر مرتبه‌ی $r$ در راستای $\zeta$ D <sub><math>\zeta</math></sub> <sup>(r)</sup>
کار نیروهای خارجی	$\Pi_P$	عمل گر مشتق گیر مرتبه‌ی $r$ در راستای $\theta$ D <sub><math>\theta</math></sub> <sup>(r)</sup>
فرکانس طبیعی	$\omega$	عمل گر مشتق گیر مرتبه‌ی $r$ نسبت به زمان D <sub><math>\tau^*</math></sub> <sup>(r)</sup>
فرکانس ارتعاشات غیرخطی	$\omega_{nl}$	مدول الاستیسیته (Nm <sup>-2</sup> ) E
فرکانس غیرخطی بی‌بعد	$\Omega^*$	ضخامت (m) h
ضرایب ساختاری لامه	$\lambda, \mu$	ماتریس یکه I
نیم زاویه‌ی رأس مخروط	$\alpha$	ماتریس سفتی K
نسبت شعاع بزرگ به طول مخروط	$\kappa$	ماتریس سفتی غیرخطی K <sub>nl</sub>
محور مختصات طولی بی‌بعد	$\zeta$	ضریب تصحیح برشی k <sub>s</sub>
نسبت طول به ضخامت مخروط	$\eta$	طول یال پوسته‌ی مخروطی L

## 7- پیوست

## 7- الف- عبارت‌های غیرخطی در رابطه‌ی (18)

$$Z_1 = A_{11}w_{,x}w_{,xx} + A_{12}\left(\frac{w_{,\theta}w_{,x\theta}}{s^2} - \frac{w_{,\theta}^2 \sin \alpha}{s^3}\right) + A_{55}\left(\frac{w_{,\theta}w_{,x\theta}}{s^2} + \frac{w_{,x}w_{,\theta\theta}}{s^2}\right)$$

گشتاورهای خمی	$M_{ij}$
تعداد موج‌های طولی	$m$
تعداد نقاط گرهی در راستای $x$	$m_g$
تعداد موج‌های محیطی	$n$
تعداد نقاط گرهی در راستای $\theta$	$n_g$

$$\begin{aligned}\bar{K}_{11} &= a_{11}\partial_{\zeta}\zeta + a_{12}\left(\frac{\partial_{\zeta}\sin\alpha}{\bar{s}} - \frac{\sin^2\alpha}{\bar{s}^2}\right) + \frac{a_{55}\partial_{\theta}\theta}{\bar{s}^2}, \\ \bar{K}_{12} &= a_{12}\left(\frac{\partial_{\zeta}\theta}{\bar{s}} - \frac{\partial_{\theta}\sin^2\alpha}{\bar{s}^2}\right) - \frac{a_{55}\partial_{\theta}\sin\alpha}{\bar{s}^2} + \frac{a_{55}\partial_{\zeta}\theta}{\bar{s}}, \\ \bar{K}_{13} &= a_{12}\left(\frac{\partial_{\zeta}\cos\alpha}{\bar{s}} - \frac{\sin\alpha\cos\alpha}{\bar{s}^2}\right), \\ \bar{K}_{21} &= \frac{a_{55}\partial_{\zeta}\theta}{\bar{s}} + \frac{a_{12}\partial_{\zeta}\theta}{\bar{s}} + \frac{(a_{11} - a_{55})\partial_{\theta}\sin\alpha}{\bar{s}^2}, \\ \bar{K}_{22} &= -a_{55}\left(\frac{\partial_{\zeta}\sin\alpha}{\bar{s}} - \frac{\sin^2\alpha}{\bar{s}^2}\right) + a_{55}\partial_{\zeta}\zeta + \frac{a_{11}\partial_{\theta}\theta}{\bar{s}^2}, \\ \bar{K}_{23} &= \frac{a_{11}\partial_{\theta}\cos\alpha}{\bar{s}^2} + \frac{k_s a_{55}\partial_{\theta}}{\bar{s}^2}, \quad \bar{K}_{25} = \frac{\eta k_s a_{55}}{\bar{s}}, \\ \bar{K}_{31} &= -\frac{a_{12}\partial_{\zeta}}{\bar{s}} - \frac{a_{11}\sin\alpha}{\bar{s}^2}, \quad \bar{K}_{32} = \frac{a_{11}\partial_{\theta}}{\bar{s}^2}, \\ \bar{K}_{33} &= k_s a_{55}\partial_{\zeta}\zeta + \frac{k_s a_{55}\partial_{\theta}\theta}{\bar{s}^2} + \frac{a_{11}\cos\alpha}{\bar{s}^2} \\ \bar{K}_{34} &= k_s \eta a_{55}\psi_{\zeta}, \quad \bar{K}_{35} = \frac{k_s \eta a_{55}\partial_{\theta}}{\bar{s}}, \\ \bar{K}_{43} &= -k_s \eta a_{55}\partial_{\zeta}, \quad \bar{K}_{53} = -\frac{k_s \eta a_{55}\partial_{\theta}}{\bar{s}} \\ \bar{K}_{44} &= d_{11}\partial_{\zeta}\zeta + d_{12}\left(\frac{\partial_{\zeta}\sin\alpha}{\bar{s}} - \frac{\sin^2\alpha}{\bar{s}^2}\right) + \frac{d_{55}\partial_{\theta}\theta}{\bar{s}^2} \\ &\quad - k_s \eta^2 a_{55}, \\ \bar{K}_{45} &= d_{12}\left(\frac{\partial_{\zeta}\theta}{\bar{s}} - \frac{\partial_{\theta}\sin\alpha}{\bar{s}^2}\right) - \frac{d_{55}\partial_{\theta}\sin\alpha}{\bar{s}^2} + \frac{d_{55}\partial_{\zeta}\theta}{\bar{s}}, \\ \bar{K}_{54} &= d_{55}\left(\frac{\partial_{\zeta}\theta}{\bar{s}} - \frac{\partial_{\theta}\sin\alpha}{\bar{s}^2}\right) + \frac{d_{12}\partial_{\zeta}\theta}{\bar{s}} + \frac{d_{11}\partial_{\theta}\sin\alpha}{\bar{s}^2}, \\ \bar{K}_{55} &= -d_{55}\left(\frac{\partial_{\zeta}\sin\alpha}{\bar{s}} - \frac{\sin^2\alpha}{\bar{s}^2}\right) + d_{55}\partial_{\zeta}\zeta + \frac{d_{11}\partial_{\theta}\theta}{\bar{s}^2} \\ &\quad - k_s \eta^2 a_{55}, \\ \bar{K}_{14} &= \bar{K}_{15} = \bar{K}_{24} = \bar{K}_{41} = \bar{K}_{42} = \bar{K}_{51} = \bar{K}_{52} = 0 \\ \bar{Z}_1 &= \frac{1}{\eta} \left\{ a_{11}\bar{w}_{,\zeta}\bar{w}_{,\zeta\zeta} + a_{12}\left(\frac{\bar{w}_{,\theta}\bar{w}_{,\zeta\theta}}{\bar{s}^2} - \frac{\bar{w}_{,\theta}^2\sin\alpha}{\bar{s}^3}\right) \right. \\ &\quad \left. + a_{55}\left(\frac{\bar{w}_{,\theta}\bar{w}_{,\zeta\theta}}{\bar{s}^2} + \frac{\bar{w}_{,\zeta}\bar{w}_{,\theta\theta}}{\bar{s}^2}\right) \right\}, \\ \bar{N}_{xx} &= \left[a_{11}\bar{u}_{,x} + \frac{a_{12}\bar{u}\sin\alpha}{\bar{s}}\right] + \left[\frac{a_{12}\bar{v}_{,\theta}}{\bar{s}}\right] + \left[\frac{a_{12}\bar{w}\cos\alpha}{\bar{s}}\right], \\ \bar{M}_{xx} &= \left[d_{11}\psi_{,\zeta} + \frac{d_{12}\psi\sin\alpha}{\bar{s}}\right] + \left[\frac{d_{12}\phi_{,\theta}}{\bar{s}}\right]\end{aligned}$$

7-ب- اجزای ماتریس ضرایب وزنی روش تربیع دیفرانسیلی  
تعمیم یافته

ضرایب وزنی مشتق مرتبه‌ی  $r$  در روش تربیع دیفرانسیلی تعیین یافته با در نظر گرفتن توزیع نقاط گسسته به صورت  $[X_1 \dots X_N]$  عبارت است از:

[20]

$$\begin{aligned}D_{ij}^{(r)} &= \\ &\quad I_{ij}, \quad r = 0 \\ &\quad \frac{\mathcal{P}(X_i)}{(X_i - X_j)\mathcal{P}(X_j)}, \quad \mathcal{P}(X_i) = \prod_{k=1; k \neq i}^N (X_i - X_k), \quad i, j = 1, \\ &\quad \quad \quad i \neq j, \quad r = 1 \\ &\quad \left\{ \begin{array}{ll} r \left[ D_{ij}^{(1)} D_{ii}^{(r-1)} - \frac{D_{ij}^{(r-1)}}{x_i - x_j} \right], & i \neq j \\ - \sum_{k=1 \atop k \neq i}^N D_{ik}^{(r)}, & i = j \end{array} \right. \quad i, j = 1, \dots, N, \quad r \geq 2\end{aligned}$$

7-ت- ماتریس‌های تعریف شده در رابطه‌ی (31)

$$\begin{aligned}Z_2 &= \frac{A_{12}w_{,x}w_{,x\theta}}{s} + \frac{A_{11}w_{,\theta}w_{,\theta\theta}}{s^3} + \frac{A_{55}w_{,\theta}w_{,xx}}{s} \\ &\quad + A_{55}\left(\frac{w_{,x}w_{,x\theta}}{s} - \frac{w_{,x}w_{,\theta}\sin\alpha}{s^2}\right) \\ Z_3 &= \frac{A_{12}w_{,x}^2}{2s} + \frac{A_{11}w_{,\theta}^2}{2s^3} + A_{11}u_{,xx}w_{,x} \\ &\quad + A_{12}\left(\frac{u_{,x}w_{,x}\sin\alpha}{s} - \frac{uw_{,x}\sin^2\alpha}{s^2}\right) \\ &\quad + A_{11}u_{,x}w_{,xx} + \frac{A_{12}u_{,x}w_{,x}\sin\alpha}{s} \\ &\quad + A_{12}\left(\frac{v_{,x\theta}w_{,x}}{s} - \frac{v_{,\theta}w_{,x}\sin^2\alpha}{s^2}\right) \\ &\quad + \frac{A_{12}v_{,\theta}w_{,xx}}{s} \\ &\quad + A_{12}\left(\frac{w_{,x}w_{,x}\cos\alpha}{s} - \frac{ww_{,x}\sin\alpha\cos\alpha}{s^2}\right) \\ &\quad + \frac{A_{12}ww_{,xx}\cos\alpha}{s} + A_{11}w_{,x}^2w_{,xx} \\ &\quad + A_{12}\left(\frac{w_{,x}w_{,\theta}w_{,x\theta}}{s^2} - \frac{w_{,x}w_{,\theta}^2\sin\alpha}{s^3}\right) \\ &\quad + \frac{A_{11}w_{,x}^2w_{,xx}}{2} + \frac{A_{12}w_{,\theta}^2w_{,xx}}{2s^2} \\ &\quad + A_{55}\left(\frac{u_{,x\theta}w_{,\theta}}{s^2} - \frac{u_{,\theta}w_{,\theta}\sin\alpha}{s^3}\right) \\ &\quad - A_{55}\left(\frac{v_{,x}w_{,\theta}\sin\alpha}{s^2} - \frac{vw_{,\theta}\sin\alpha}{s^3}\right) \\ &\quad + \frac{A_{55}v_{,xx}w_{,\theta}}{s} \\ &\quad + A_{55}\left(\frac{w_{,x}w_{,\theta}w_{,x\theta}}{s^2} + \frac{w_{,\theta}^2w_{,xx}}{s^2}\right) \\ &\quad - \frac{w_{,x}w_{,\theta}^2\sin\alpha}{s^3} + \frac{A_{55}u_{,\theta}w_{,\theta\theta}}{s^3} \\ &\quad - \frac{A_{55}vw_{,\theta\theta}\sin\alpha}{s^3} + \frac{A_{55}v_{,x}w_{,\theta\theta}}{s^2} \\ &\quad + \frac{A_{55}w_{,x}w_{,\theta}w_{,\theta\theta}}{s^3} - \frac{A_{55}u_{,\theta}w_{,\theta}\sin\alpha}{s^3} \\ &\quad + \frac{A_{55}vw_{,\theta}\sin^2\alpha}{s^3} - \frac{A_{55}v_{,x}w_{,\theta}\sin\alpha}{s^2} \\ &\quad - \frac{A_{55}w_{,x}w_{,\theta}^2\sin\alpha}{s^3} + \frac{A_{55}u_{,\theta\theta}w_{,x}}{s^2} \\ &\quad - \frac{A_{55}v_{,\theta}w_{,x}\sin\alpha}{s^2} + \frac{A_{55}v_{,x\theta}w_{,x}}{s^2} \\ &\quad + A_{55}\left(\frac{w_{,x}w_{,\theta}w_{,x\theta}}{s^2} + \frac{w_{,x}w_{,\theta\theta}}{s^2}\right) \\ &\quad + \frac{A_{55}u_{,\theta}w_{,x\theta}}{s^2} - \frac{A_{55}vw_{,x\theta}\sin\alpha}{s^2} \\ &\quad + \frac{A_{55}v_{,x}w_{,x\theta}}{s} + \frac{A_{55}w_{,x}w_{,\theta}w_{,x\theta}}{s^2} \\ &\quad + \frac{A_{12}u_{,x\theta}w_{,\theta}}{s^2} + \frac{A_{11}u_{,\theta}w_{,\theta}\sin\alpha}{s^3} \\ &\quad + \frac{A_{11}v_{,\theta\theta}w_{,\theta}}{s^3} + \frac{A_{11}w_{,\theta}^2\cos\alpha}{s^3} \\ &\quad + \frac{A_{12}w_{,x}w_{,\theta}w_{,x\theta}}{s^2} + \frac{A_{11}w_{,\theta}^2w_{,\theta\theta}}{s^4} \\ &\quad + \frac{A_{12}u_{,x}w_{,\theta\theta}}{s^2} + \frac{A_{11}u_{,\theta}w_{,\theta}\sin\alpha}{s^3} \\ &\quad + \frac{A_{11}v_{,\theta}w_{,\theta\theta}}{s^3} + \frac{A_{11}ww_{,\theta\theta}\cos\alpha}{s^3} \\ &\quad + \frac{A_{12}w_{,x}^2w_{,\theta\theta}}{2s^2} + \frac{A_{11}w_{,\theta}^2w_{,\theta\theta}}{2s^4}\end{aligned}$$

7-ب- پارامترهای بی بعد رابطه‌ی (25)

شامل مقادیر گرهی تابع دلخواه  $h(\xi)$  در  $\xi_j, j = 1, 2, \dots, n_g$  می‌باشد.

#### 8- مراجع

- [1] A. Leissa, *Vibration of shells*, Washington: NASA-SP-288, pp. 31-45, 1973.
- [2] C. Shu, An efficient approach for free vibration analysis of conical shells, *International Journal of Mechanical Sciences*, Vol. 38, No. 8-9, pp. 935-949, 1996.
- [3] Ö. Civalek, An efficient method for free vibration analysis of rotating truncated conical shells, *International Journal of Pressure Vessels and Piping*, Vol. 83, No. 1, p. 1-12, 2006.
- [4] E.J. Goldberg, J.L. Bogdanoff, L. Marcus, On the calculation of the axisymmetric, *The Journal of the Acoustical Society of America*, Vol. 32, No. 6, pp. 738-42, 1960.
- [5] A. Kalnins, Free vibration of rotationally symmetric shells, *The Journal of the Acoustical Society of America*, Vol. 36, No. 7, pp. 1355-65, 1964.
- [6] T. Irie, G. Yamada, Y. Kaneko, Free vibration of a conical shell with variable, *Journal of Sound and Vibration*, Vol. 82, No. 1, pp. 83-94, 1982.
- [7] T. Irie, G. Yamada, Y. Kaneko, Natural frequencies of truncated conical shells, *Journal of Sound and Vibration*, Vol. 92, No. 3, pp. 447-53, 1984.
- [8] L. Tong, Free vibration of composite laminated conical shells, *International Journal of Mechanical Sciences*, Vol. 35, No. 1, pp. 47-61, 1993.
- [9] L. Tong, Free vibration of orthotropic conical shells, *International Journal of Engineering Science*, Vol. 31, No. 5, pp. 719-733, 1993.
- [10] K.Y. Lam, Li Hua, On free vibration of a rotating truncated circular orthotropic conical shell, *Composites Part B: Engineering*, Vol. 30, No. 2, p. 135-144, 1999.
- [11] K.Y. Lam, Li Hua, Vibration analysis of a rotating truncated circular conical shell, *International Journal of Solids and Structures*, Vol. 34, No. 17, pp. 2183-2197, 1997.
- [12] L. Hua, Frequency analysis of rotating truncated circular orthotropic conical shells with different boundary conditions, *Composites Science and Technology*, Vol. 60, No. 16, pp. 2945-2955, 2000.
- [13] D. J. Wilkins, C. W. Bert, D. M. Egle, Free vibrations of orthotropic sandwich conical shells with various boundary conditions, *Journal of Sound and Vibration*, Vol. 13, No. 2, pp. 211-228, 1970.
- [14] A. H. Sofiyev, N. Kuruoglu, H. M. Halilov, The vibration and stability of non-homogeneous orthotropic conical shells with clamped edges subjected to uniform external pressures, *Applied Mathematical Modeling*, Vol. 34, No. 7, pp. 1807-1820, 2010.
- [15] Guoyong Jin, Xianglong Ma, Shuangxia Shi, Tianguo Ye, Zhigang Liu, A modified Fourier series solution for vibration analysis of truncated conical shells with general boundary conditions, *Applied Acoustics*, Vol. 85, pp. 82-96, 2014.
- [16] A. H. Sofiyev, On the vibration and stability of shear deformable FGM truncated conical shells subjected to an axial load, *Composites Part B: Engineering*, Vol. 80, pp. 53-62, 2015.
- [17] S. Kamarian, M. Salim, R. Dimitri, F. Tornabene, Free vibration analysis of conical shells reinforced with agglomerated Carbon Nanotubes, *International Journal of Mechanical Sciences*, Vol. 108, pp. 157-165, 2016.
- [18] D. Van Dung, H. T. Thiem, Research on Free Vibration Frequency Characteristics of Rotating Functionally Graded Material Truncated Conical Shells with Eccentric Functionally Graded Material Stringer and Ring Stiffeners, *Latin American Journal of Solids & Structures*, Vol. 13, No. 14, pp. 2379-2405, 2016.
- [19] C.S. Xu, Z.Q. Xia, C.Y. Chia, Non-linear theory and vibration analysis of laminated truncated, thick, conical shells, *International Journal of Non-Linear Mechanics*, Vol. 31, No. 2, pp. 139-154, 1996.
- [20] Y.M. Fu, C.P. Chen, Non-linear vibration of elastic truncated conical moderately thick shells in large overall motion, *International Journal of Non-Linear Mechanics*, Vol. 36, No. 5, pp. 763-771, 2001.
- [21] C. Chena, L. Dai, Nonlinear vibration and stability of a rotary truncated conical shell with intercoupling of high and low order modals, *Communications in Nonlinear Science and Numerical Simulation*, Vol. 14, No. 1, pp. 254-269, 2009.
- [22] A. Sofiyev, The non-linear vibration of FGM truncated conical shells, *Composite Structures*, Vol. 94, No. 7, pp. 2237-2245, 2012.
- [23] C. Shu, *Differential quadrature and its application in engineering*, London: Springer, pp. 95-122, 2000.
- [24] L. Trefethen, *Spectral Methods in MATLAB*, England: Oxford, pp. 17-28, 2000.
- [25] R. Ansari, E. Hasrati, M. Faghish Shojaei, R. Gholami, A. Shahabodini, Forced vibration analysis of functionally graded carbon nanotube-reinforced composite plates using a numerical strategy, *Physica E: Low-dimensional Systems and Nanostructures*, Vol. 69, pp. 294-305, 2015.
- [26] H. D. Mittelmann, A pseudo-arclength continuation method for nonlinear eigenvalue problems, *SIAM journal on numerical analysis*, Vol. 23, No. 5, pp. 1007-1016, 1986.
- [27] H.S. Shen, Nonlinear vibration of shear deformable FGM cylindrical shells surrounded by an elastic medium, *Composite Structures*, Vol. 94, No. 3, pp. 1144-1154, 2012.
- [28] K.K. Raju & G.V Rao, Large amplitude asymmetric vibrations of some thin shells of revolution, *Journal of Sound and Vibration*, Vol. 44, No. 3, pp. 327-333, 1976.

$$K = \begin{bmatrix} k_{11} & k_{12} & k_{13} & k_{14} & k_{15} \\ k_{21} & k_{22} & k_{23} & k_{24} & k_{25} \\ k_{31} & k_{32} & k_{33} & k_{34} & k_{35} \\ k_{41} & k_{42} & k_{43} & k_{44} & k_{45} \\ k_{51} & k_{52} & k_{53} & k_{54} & k_{55} \end{bmatrix}$$

:که

$$k_{11} = a_{11} I_\theta \otimes D_\zeta^{(2)} + a_{12} \left( \frac{I_\theta \otimes D_\zeta^{(1)} \sin \alpha}{\bar{s}} - \frac{I_\theta \otimes I_\zeta \sin^2 \alpha}{\bar{s}^2} \right) + \frac{a_{55} D_\theta^{(2)} \otimes I_\zeta}{\bar{s}^2},$$

$$k_{12} = a_{12} \left( \frac{D_\theta^{(1)} \otimes D_\zeta^{(1)}}{\bar{s}} - \frac{D_\theta^{(1)} \otimes I_\zeta \sin^2 \alpha}{\bar{s}^2} \right) - \frac{a_{55} D_\theta^{(1)} \otimes I_\zeta \sin \alpha}{\bar{s}^2} + \frac{a_{55} D_\theta^{(1)} \otimes D_\zeta^{(1)}}{\bar{s}},$$

که  $\bar{s} = \langle \kappa + \bar{x} \sin \alpha \rangle$  و علامت  $\langle \rangle$  معروف شکل قطری شده‌ی یک ماتریس است. همچنین فرم گسسته‌ی سایر مؤلفه‌های  $k_{ij}$  به طریق مشابه قابل محاسبه است.

$$M = -\langle I_0 I_\theta \otimes I_\zeta \quad I_0 I_\theta \otimes I_\zeta \quad I_0 I_\theta \otimes I_\zeta \quad I_2 I_\theta \otimes I_\zeta \quad I_2 I_\theta \otimes I_\zeta \rangle,$$

$$K_{nl}(X) = [K_U(X)^T, K_V(X)^T, K_W(X)^T, K_\Psi(X)^T, K_\Phi(X)^T]^T,$$

$$K_U(X) = \frac{1}{\eta} \left[ a_{12} \left( (I_\theta \otimes D_\zeta^{(1)}) W^v \right) \circ \left( (D_\theta^{(1)} \otimes D_\zeta^{(1)}) W^v \right) \right. \\ + a_{11} \frac{\left( (D_\theta^{(1)} \otimes I_\zeta) W^v \right) \circ \left( (D_\theta^{(2)} \otimes I_\zeta) W^v \right)}{\bar{s}^3} \\ + a_{55} \left( \frac{\left( (I_\theta \otimes D_\zeta^{(1)}) W^v \right) \circ \left( (D_\theta^{(1)} \otimes D_\zeta^{(1)}) W^v \right)}{\bar{s}} \right. \\ \left. + \frac{\left( (D_\theta^{(1)} \otimes I_\zeta) W^v \right) \circ \left( (I_\theta \otimes D_\zeta^{(2)}) W^v \right)}{\bar{s}} \right. \\ \left. - \frac{\left( (I_\theta \otimes D_\zeta^{(1)}) W^v \right) \circ \left( (D_\theta^{(1)} \otimes I_\zeta) W^v \right) \sin \alpha}{\bar{s}^2} \right) \right],$$

که  $I_\zeta$  و  $I_\theta$  ماتریس‌های یکه بوده و علامت  $\circ$  معرف ضرب هادامارد است.

$K_{nl}(X) = K_\Phi(X) \cdot K_W(X) \cdot K_V(X) \cdot K_\Psi(X)$  نیز به طریق مشابه قابل محاسبه

هستند

#### 7- ث- عمل گر انگرال گیری در رابطه‌ی (37)

$$\int_{\xi_1}^{\xi_{n_g}} h(\xi) d\xi = \left( \sum_{r=0}^{n_g-1} \tilde{X}^{(r)} D_\xi^{(r)} \right) h = S_\xi h,$$

$$S_\xi = [S_\xi]_{1 \times n_g} = \left( \sum_{r=0}^{n_g-1} \tilde{X}^{(r)} D_\xi^{(r)} \right),$$

$$\tilde{X}^{(r)} = \left[ \frac{(\xi_2 - \xi_1)^{r+1}}{2^{r+1}(r+1)!}, \dots, \frac{(\xi_{i+1} - \xi_i)^{r+1} - (\xi_{i-1} - \xi_i)^{r+1}}{2^{r+1}(r+1)!} \right. \\ \left. , \dots, \frac{(\xi_{N-1} - \xi_N)^{r+1}}{2^{r+1}(r+1)!} \right], \quad i = 2, 3, \dots, n_g - 1$$

که  $D_\xi^{(r)}$  عمل گر مشتق گیر یا ضرایب وزنی مرتبه‌ی  $r$  در روش تربیع دیفرانسیلی تعمیم‌یافته بوده و  $h$  برداری سطونی با تعداد  $n_g$  مؤلفه است که

<sup>1</sup> Hadamard product